

УДК 548.0 : 537.226.4

СТРУКТУРНЫЕ ФАЗОВЫЕ ПЕРЕХОДЫ В СЕГНЕТОЭЛАСТИКЕ CsScF_4

*К. С. Александров, В. Н. Воронов, А. И. Круглик,
С. В. Мельникова, И. Н. Флёрёв*

Обнаружены два структурных фазовых перехода в CsScF_4 . Определены симметрия фаз и термодинамические характеристики. Фазовый переход в ромбическую фазу является сегнетоэластическим.

Среди неорганических соединений ABX_4 слоистая первоскитоподобная структура типа TlAlF_4 , по данным кристаллохимического анализа [1], свойственна ограниченному кругу кристаллов, а именно фторидам $\text{A}^+ \text{B}^{3+} \text{F}_4$ и оксидам $\text{A}^+ \text{Np}^{7+} \text{O}_4$, где $\text{A} = \text{K}, \text{NH}_4, \text{Tl}, \text{Rb}, \text{Cs}$. Образование подобной структуры в других галогенидах возможно только с молекулярным катионом A^+ [2]. Симметрия исходной фазы G_0 таких кристаллов тетрагональная с пространственной группой D_{4h}^1 . Последовательные фазовые переходы (ФП) ротационного типа в кристаллах ABF_4 обнаружены и частично изучены сравнительно недавно ([3–5], см. также библиографию в [6, 7]). В [7] рассмотрен и систематизирован на основе кристаллографического анализа широкий круг возможных ротационных искажений слоев. При понижении температуры могут наблюдаться различные варианты чередования и нарастания числа компонент искажений, а также возникновение дисторсионных политипов. Мягкие моды, свидетельствующие о принадлежности ФП к превращениям типа смещения, обнаружены в RbAlF_4 методами неупругого рассеяния нейtronов и рамановской спектроскопии [6].

Одним из вероятных соединений со структурой TlAlF_4 , согласно прогнозу [1], является CsScF_4 . В работе сообщается о результатах исследований оптических, термодинамических и структурных свойств этого кристалла.

Оптически прозрачный кристалл CsScF_4 , выращенный из расплава по методу Бриджмена, имеет идеальную плоскость спайности (001) и менее ярко выраженные спайности по (010) и (100). При паблюдении в поляризационном микроскопе при комнатной температуре обнаружена двойниковая структура в виде полос, параллельных [110] с погасаниями по [100]. При понижении температуры картина не меняется. Под действием механических напряжений границы двойников перемещаются, т. е. наблюдаемая фаза является сегнетоэластической. В процессе нагревания оптическая анизотропия и двойники исчезают при $T=317$ К. Кристалл становится оптически одноосным. При дальнейшем повышении температуры до ~ 600 К никаких изменений этой картины не обнаружено. Таким образом, по данным поляризационно-оптических исследований, при $T=317$ К в CsScF_4 происходит ФП из тетрагональной фазы в ромбическую с ориентацией главных осей оптической индикатрисы по псевдотетрагональным осям (см. ниже).

Следует обратить внимание, что для образцов из разных кристаллизаций температуры ФП заметно отличаются. В то же время параметры эле-

ментарной ячейки этих образцов совпадают с удовлетворительной точностью. Отжиг не приводит к изменению температуры ФП, как и в случае другого слоистого перовскита RbAlF_4 [8]. Подобные явления, по-видимому, свойственны фторидам, так как наблюдались ранее при исследовании родственных структур: перовскитов (KMnF_3) [8] и эльпасолитов ($\text{Rb}_2\text{NaHoF}_6$) [9].

На тонких пластинках (001) выполнены измерения двупреломления (рис. 1). При $T=317$ К Δn возникает и плавно возрастает до $3.3 \cdot 10^{-4}$ при 100 К. Во всем исследованном интервале температур (~ 200 К) двупреломление не достигает насыщения.

Измерения теплоемкости выполнены в широкой области температур

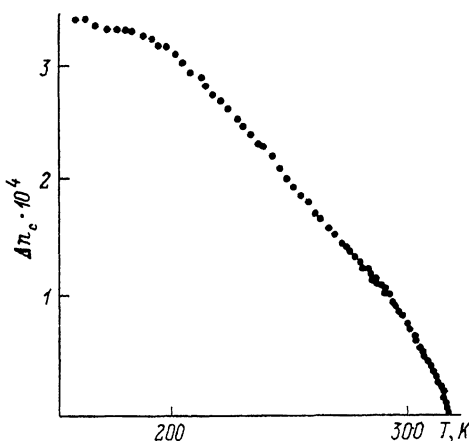


Рис. 1. Температурная зависимость двупреломления Δn_c CsScF_4 .

на адиабатическом (80–300 К) и дифференциально-сканирующем (340–630 К) калориметрах. Обнаружены аномалии теплоемкости (рис. 2) при $T_1=475$ и $T_2=317.5$ К, соответствующие двум последовательным ФП $G_0 \rightarrow G_1 \rightarrow G_2$. Изменения энтропии, определенные как $\Delta S_i = \int (\Delta C/T) dT$, составляют $\Delta S_1=1.14$ и $\Delta S_2=1.76$ Дж/моль·К. ФП $G_0 \rightarrow G_1$ сопровож-

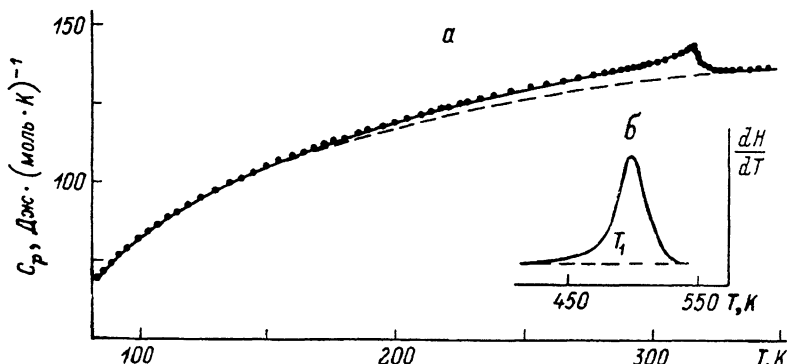


Рис. 2. Теплоемкость CsScF_4 , измеренная адиабатическим (а) и дифференциально-сканирующим (б) калориметрами.

Штриховая линия — решеточная теплоемкость.

дается скачком энтропии $\delta S_1=0.91$ Дж/моль·К, составляющим основной вклад в ΔS_1 . ФП $G_1 \rightarrow G_2$ второго рода характеризуется небольшим «скачком» теплоемкости при T_2 , $\Delta C/C_{\text{пер}} \approx 6\%$ и широким интервалом наличия избыточной теплоемкости, $\Delta T \approx 170$ К.

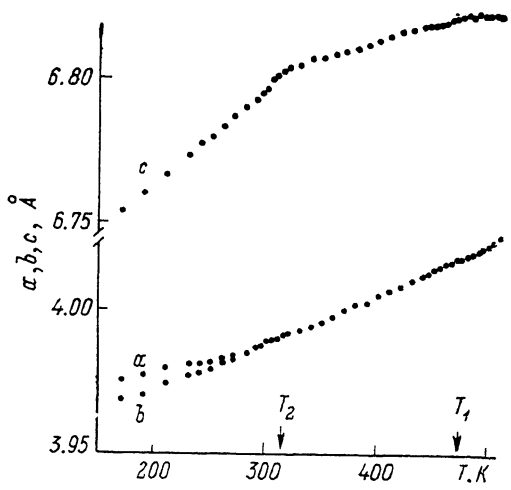
Для определения изменения симметрии при T_1 и T_2 проведены рентгеновские исследования порошков и монокристальных пластинок в широком интервале температур. Индицирование рентгенограммы, полученной при 500 К, показало, что в фазе G_0 кристалл принадлежит к тетрагональной сингонии с параметрами элементарной ячейки: $a=b=4.025$ (2), $c=6.822$ (3) Å, $Z=1$. Полученные данные и отсутствие погасаний в дифракционной картине позволяют отнести CsScF_4 к семейству кристаллов TiAlF_4 с пространственной группой исходной фазы $G_0 = P4/mmm$ (D_{4h}^1).

По порошковым рентгенограммам не удалось установить отличия между фазами G_0 и G_1 , хотя на температурной зависимости параметра с

заметен излом при T_1 (рис. 3). При исследовании монокристалльных пластинок обнаружены слабые сверхструктурные рефлексы типа $(h/2, k/2, l)$ для нечетных h и k . Индексы отражений приводятся в ячейке исходной фазы G_0 . Наличие такой сверхструктуры соответствует изменению симметрии $D_{4h}^1(v_0) \rightarrow D_{4h}^5(2v_0)$, которое связано с поворотами типа (00θ) октаэдров ScF_6 вокруг оси c [1].

Параметры элементарной ячейки в фазе G_1 при 400 К: $a_1 = 5.662 (2) \approx a_0 \sqrt{2}$, $c_1 = 6.814 (2)$ Å $\approx c_0$. При T_2 ячейка претерпевает ромбическое искажение и появляются новые сверхструктурные рефлексы типа $(h/2, k/2, l)$, для которых либо h , либо k — четные. Анализ погасаний сверхструктурных рефлексов позволяет предположить для фазы G_2 пространственную группу D_{2h}^{13} , реализация которой

Рис. 3. Температурная зависимость параметров элементарной ячейки.



связана с поворотами октаэдров вокруг осей a и (или) b исходной фазы G_0 . При 200 К параметры следующие: $a=7.944 (3) \approx 2a_0$, $b=7.956 (3) \approx 2a_0$, $c=6.763 (3)$ Å $\approx c_0$, $Z=4$.

Интенсивность структурного рефлекса (008) в фазах G_1 и G_2 изменяется мало и без особенностей в T_2 (рис. 4). В то же время интенсивности всех сверхструктурных рефлексов, возникающих при T_2 , растут быстро и практически линейно ниже $T \approx (T_2 - 20)$ К (например, $(3/2\ 0\ 6)$ на рис. 4).

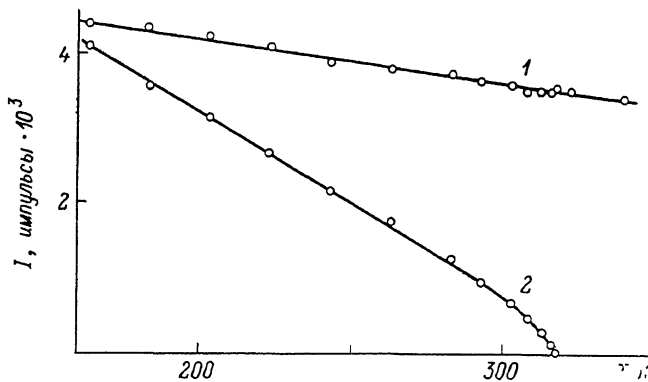


Рис. 4. Интегральные интенсивности структурного (008) (1) и сверхструктурного $(3/2\ 0\ 6)$ (2) рефлексов в фазе G_2 .

Такое поведение можно объяснить нарастанием при уменьшении T смещения атомов Cs вдоль оси z от положения в фазах G_0 и G_1 . Это смещение разрешено симметрией фазы G_2 — $Pmmn$. Оценки показывают, что при $T_2 = 170$ К Δz достигает 0.1 Å.

Наблюдаемая при ФП последовательность искажений в кристалле CsScF_4 $(000) \rightarrow (00\theta) \rightarrow (\psi_1 \psi_2 \theta)$ отличается от реализующейся в других соединениях с цезиевым катионом и похожа на чередование поворотов октаэдров в RbAlF_4 [7]. Особенность фазы G_2 RbAlF_4 состоит в том, что $\psi_2 = 0$ почти до $T_2 = 80$ К [8]. Уточнить соотношение между углами поворота октаэдров ψ_1 и ψ_2 в фазе G_2 CsScF_4 на данном этапе не представляется возможным, для этого необходимо определение координат атомов.

Согласно результатам теоретико-группового анализа [7] возможных ФП из группы D_{4h}^1 , повороты типа θ и ϕ определяются неприводимыми представлениями, принадлежащими точкам M и X зоны Бриллюэна. Прямое подтверждение тому, что в RbAlF_4 реализуются ФП типа смещения, получено путем обнаружения мягких мод M_3 при T_1 и X_3 при T_2 в экспериментах по неупругому рассеянию нейтронов [6]. Данные об изменении энтропии при ФП в кристаллах с исходной группой D_{4h}^1 существуют лишь для соединений с молекулярным катионом [10] и для TiAlF_4 [4]. В последнем случае оценен лишь скачок энтропии при $T_1 \Delta S_1 \approx 0.02R$. Определенные в настоящей работе для CsScF_4 $\Delta S_1 = 0.16R$ и $\Delta S_2 = 0.21R$ невелики и вполне соответствуют ФП типа смещения. Ранее нами исследован слоистый перовскит Rb_2CdCl_4 со структурой K_2MgF_4 , испытывающий ФП типа смещения из тетрагональной (D_{4h}^{17}) в ромбическую фазу сискажениями типа $(000) \rightarrow (\varphi\varphi 0)$ [11]. Изменение энтропии при этом превращении ($\Delta S = 0.28R$) сопоставимо с ΔS_2 в CsScF_4 .

Таким образом, кристалл CsScF_4 испытывает последовательность ФП $D_{4h}^1 \rightarrow D_{4h}^5 \rightarrow D_{2h}^{13}$, отличающуюся от последовательности в других соединениях с цезиевым катионом. Благодаря оптической прозрачности кристалла представляется возможным использование рамановской спектроскопии для обнаружения и установления особенностей поведения мягких мод.

Л и т е р а т у р а

- [1] Александров К. С., Безносиков Б. В., Мисюль С. В. Препринт № 333-Ф ИФ СО АН СССР. Красноярск, 1985.
- [2] Aleksandrov K. S., Beznosikov B. V., Misjul S. V. Ferroelectrics, 1987, vol. 73, N 1–2, p. 201–220.
- [3] Bulou A., Nouet J. J. Phys. C: Sol. St. Phys., 1982, vol. 15, p. 183–196.
- [4] Bulou A., Nouet J. J. Phys. C: Sol. St. Phys., 1987, vol. 20, p. 2885–2900.
- [5] Hidaka M., Fujii H., Garrard B. J., Wanklyn B. M. Phys. St. Sol., 1984, vol. 86 (a), p. 75–83.
- [6] Bulou A. These de Doctorat d'Etat. Universite Pierre et Marie Curie, Paris VI, 1985.
- [7] Александров К. С. Кристаллография, 1987, т. 32, № 3, с. 661–672.
- [8] Kleemann W., Schäfer F. J., Nouet J. J. Phys. C: Sol. St. Phys., 1982, vol. 15, p. 197–208.
- [9] Хлюстов В. Г., Флёрков И. Н., Симин А. Т., Сальников А. Н. ФТТ, 1972, т. 14, № 1, с. 175–177.
- [10] Горев М. В., Флёрков И. Н., Искорнев И. М., Воронов В. Н. ФТТ, 1984, т. 26, № 5, с. 1285–1289.
- [11] Fousskova A. Ferroelectrics, 1980, vol. 25, N 1/4, p. 451–452.
- [12] Горев М. В., Мельникова С. В., Флёрков И. Н. ФТТ, 1987, т. 29, № 7, с. 2084–2088.

Институт физики им. Л. В. Киренского
СО АН СССР
Красноярск

Поступило в Редакцию
1 июня 1988 г.